

Московский Государственный Университет им. М.В.Ломоносова
Механико - математический факультет, 5 курс.
Кафедра Высшей Геометрии и Топологии

Каргапольцева Анастасия Игоревна
КУРСОВАЯ РАБОТА

Описание колец эквивариантных когомологий
гиперповерхностей Милнора.

Научный руководитель – Тарас Евгеньевич Панов

Москва
2019 г.

1. ПОСТАНОВКА ЗАДАЧИ

В данной работе рассматриваются гиперповерхности Милнора H_{ij} и осуществляется вычисление колец эквивариантных когомологий относительно действия компактного тора T^2 для H_{22} и T^j для H_{1j} , где $j \geq 1$.

Определим гиперповерхности Милнора H_{ij} . Пусть $[z_0 : \dots : z_i]$ – однородные координаты на пространстве $\mathbb{C}P^i$, $[w_0 : \dots : w_j]$ – однородные координаты на $\mathbb{C}P^j$. Тогда положим

$$H_{ij} = \{[z_0 : \dots : z_i] \times [w_0 : \dots : w_j] \in \mathbb{C}P^i \times \mathbb{C}P^j : \sum_{k=0}^{\min(i,j)} z_k w_k = 0\}.$$

На протяжении всей работы мы будем считать, что $i \leq j$. Кроме того, действие алгебраического тора $C^j = (\mathbb{C}^*)^j$ мы определим следующим образом:

$$(t_1, \dots, t_j)([z_0 : \dots : z_i], [w_0 : \dots : w_j]) = ([z_0 : t_1 z_1 : \dots : t_i z_i], [w_0 : t_1^{-1} w_1 : \dots : t_j^{-1} w_j]).$$

И будем рассматривать эквивариантные когомологии H_{ij} относительно действия компактного подтора $T^j = (\mathbb{S}^1)^j$. Подробное описание данного действия, соответствующего отображения моментов, а также его образа, можно найти в [3].

2. ОПИСАНИЕ ОБРАЗУЮЩИХ КОЛЬЦА ЭКВИВАРИАНТНЫХ КОГОМОЛОГИЙ

Рассмотрим универсальное расслоение для $T = (\mathbb{S}^1)^j$:

$$ET \xrightarrow{T} BT = (ET/T).$$

Напомним, что ET – стягиваемое пространство со свободным действием тора T , а $BT = (\mathbb{C}P^\infty)^j$ есть классифицирующее пространство для T . Тогда имеется расслоение

$$\begin{array}{c} H_{ij} \times_T ET \\ \downarrow H_{ij} \\ BT, \end{array}$$

где тотальное пространство есть пространство со свободным диагональным действием тора T и $H_{ij} \times_T ET = (H_{ij} \times ET)/T$. Тогда кольцо эквивариантных когомологий $H_T^*(H_{ij}) = H^*(H_{ij} \times_T ET)$.

Рассмотрим второй лист E_2 спектральной последовательности, соответствующей данному расслоению. В силу того, что нечетномерные группы когомологий H_{ij} и $(\mathbb{C}P^\infty)^j$ равны нулю, спектральная последовательность вырождается в члене E^2 , то есть $E^2 = E^\infty$ (напомним, что это свойство называется эквивариантной формальностью). Значит $H_T^*(H_{ij})$ есть свободный модуль над $H^*(BT) = H_T^*(pt) = \mathbb{Z}[t_1, \dots, t_j]$.

Пусть H_{ij}^T есть множество неподвижных точек относительно действия тора T . Так как это множество конечно, существует естественное вложение H_{ij}^T в H_{ij} , которое индуцирует отображение $H_T^*(H_{ij}) \rightarrow \bigoplus_{pt \in H_{ij}^T} H_T^*(pt)$. Кроме того, так как H_{ij} эквивариантно формально, то это отображение инъективно (см. [1] и [4]). Таким образом, чтобы вычислить кольцо эквивариантных когомологий H_{ij} , нам необходимо найти образ данного отображения. Это можно сделать с помощью следующей теоремы также доказанной в [1]:

Теорема 1. Пусть X – гладкое проективное многообразие с эффективным действием алгебраического тора T ($K \subset T$ – компактный тор), относительно которого X эквивариантно формально и имеет конечное число неподвижных точек и одномерных орбит. Обозначим одномерные орбиты O_1, \dots, O_m . Для каждой орбиты O_i обозначим через t_i ее стабилизатор (T_i – касательное пространство к нему), через S_i и N_i две неподвижные точки, являющиеся полюсами этой орбиты. Пусть X^T – множество неподвижных точек относительно действия тора T и $|X^T| = n$. Тогда

$$H_K^*(X) \cong \{(f_{p_1}, \dots, f_{p_n}) \in \bigoplus_{pt \in X^T} H_K^*(pt) : f_{N_i}|_{T_i} = f_{S_i}|_{T_i} \forall i = 1, \dots, m\}.$$

Заметим, что изоморфизм в этой теореме кольцевой.

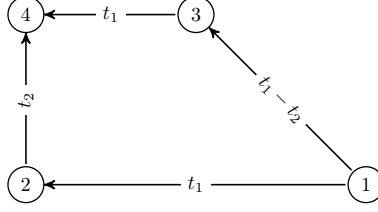


Рис. 1

3. ВЫЧИСЛЕНИЕ ОБРАЗУЮЩИХ ДЛЯ H_{1n}

Пользуясь предыдущей теоремой, найдем образующие для H_{1n} . Но прежде рассмотрим несколько примеров.

Пример 2 (Образующие кольца эквивариантных когомологий для H_{11}). Как видно из определения, H_{11} это комплексная проективная прямая $\mathbb{C}P^1$. Относительно действия \mathbb{C}^* имеются две неподвижные точки $[1 : 0]$ и $[0 : 1]$ и только одна одномерная орбита $[\ast, \ast]$. Понятно, что стабилизатор этой орбиты – единица. Тогда получаем

$$H_{\mathbb{S}^1}^*(\mathbb{C}P^1) = \{(p_N, p_S) \in H_{\mathbb{S}^1}^*(pt) \oplus H_{\mathbb{S}^1}^*(pt) : p_N(0) = p_S(0)\}.$$

То есть, если p_N выбирается произвольно в $H_{\mathbb{S}^1}^*(pt)$, то $p_S = p_N + tp$, где p выбирается произвольно в $H_{\mathbb{S}^1}^*(pt)$. Таким образом, кольцо эквивариантных когомологий $\mathbb{C}P^1$ аддитивно порождается классами (p_N, p_N) и $(0, tp)$, где p и p_N пробегает $H_{\mathbb{S}^1}^*(pt)$. Иными словами, $H_{\mathbb{S}^1}^*(\mathbb{C}P^1)$ есть свободный $\mathbb{Z}[t]$ модуль с образующими $(1, 1)$ и $(0, t)$.

Пример 3 (Образующие кольца эквивариантных когомологий для H_{12}). Рассматриваем действие T^2 на H_{12} . Запишем неподвижные точки этого действия:

$$\begin{aligned} ([1 : 0], [0 : 1 : 0]) &\rightarrow 1, ([0 : 1], [1 : 0 : 0]) \rightarrow 2, \\ ([1 : 0], [0 : 0 : 1]) &\rightarrow 3, ([0 : 1], [0 : 0 : 1]) \rightarrow 4. \end{aligned}$$

Имеем четыре одномерные орбиты: $([1 : 0], [0 : w_1 : w_2])$ содержит точки 1 и 3, $([0 : 1], [w_0 : 0 : w_2])$ содержит точки 2 и 4, $([z_0 : z_1], [0 : 0 : 1])$ содержит точки 3 и 4, $([z_0 : z_1], [w_0 : w_1 : 0])$ содержит точки 1 и 2. Граф, соответствующий одномерным орбитам и неподвижным точкам с указанием аннигиляторов стабилизаторов одномерных орбит, приведен на рисунке 1.

Согласно теореме, любой элемент образа будет иметь вид (q_1, q_2, q_3, q_4) , где $q_i \in H_{T^2}^*(pt)$ и q_i удовлетворяют соотношениям:

$$q_2 - q_1 \in \langle t_1 \rangle, q_3 - q_1 \in \langle t_1 - t_2 \rangle, q_4 - q_2 \in \langle t_2 \rangle, q_4 - q_3 \in \langle t_1 \rangle.$$

Откуда следует, что q_i будут иметь следующий вид:

$$\begin{aligned} q_1 &= p_1, q_2 = p_1 + t_1 p_2, \\ q_3 &= p_1 + (t_1 - t_2) p_3, \\ q_4 &= p_1 + t_1 p_2 - t_2 p_3 + t_1 t_2 p_4. \end{aligned}$$

Таким образом, $H_{T^2}^*(H_{12})$ есть свободный $\mathbb{Z}[t_1, t_2]$ модуль с образующими $(1, 1, 1, 1)$, $(0, t_1, 0, t_1)$, $(0, 0, t_1 - t_2, -t_2)$ и $(0, 0, 0, t_1 t_2)$.

Перейдем к общему случаю: выпишем образующие кольца эквивариантных когомологий для H_{1n} относительно действия тора T^n . В этом случае имеется $2n$ образующих $(q_1, q_2, \dots, q_{2n-1}, q_{2n})$, соответствующих неподвижным точкам действия. Покажем, что первые две образующие будут иметь вид: $(1, \dots, 1)$, $(0, t_1, 0, t_1, \dots, 0, t_1)$. Далее, при $1 \leq k \leq n - 1$, $(2k + 1)$ -я образующая будет иметь вид: $(\underbrace{0, \dots, 0}_{2k}, \prod_{l=1}^k (t_l - t_{k+1}), -t_{k+1} \prod_{l=2}^k (t_l - t_{k+1}), \dots, \prod_{l=1}^k (t_l - t_n), -t_n \prod_{l=2}^k (t_l - t_n))$; $(2k + 2)$ -я образующая

будет иметь вид: $(\underbrace{0, \dots, 0}_{2k}, 0, t_1 t_{k+1} \prod_{l=2}^k (t_l - t_{k+1}), \dots, 0, t_1 t_n \prod_{l=2}^k (t_l - t_n))$.

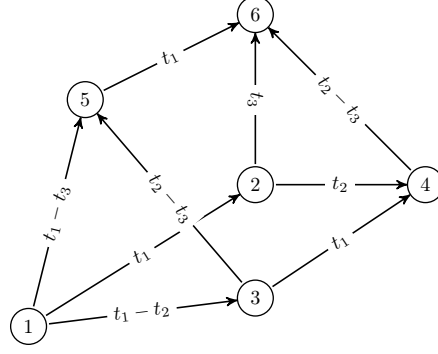


Рис. 2

Доказательство проведем индукцией по n . База индукции проверена в примерах 2 и 3. Пусть для H_{1n} все доказано, докажем для $H_{1,n+1}$. Так как мы умеем выписывать образующие для H_{1n} , то можем указать явный вид для $q_1, q_2, \dots, q_{2n-1}, q_{2n}$. Для завершения доказательства необходимо выписать явный вид для многочленов q_{2n+1}, q_{2n+2} . При переходе от H_{1n} к $H_{1,n+1}$ добавляются две неподвижные точки действия $([1 : 0], \underbrace{[0 : \dots : 0 : 1]}_{n+1})$ и $([0 : 1], \underbrace{[0 : \dots : 0 : 1]}_{n+1})$. Занумеруем неподвижные точки $H_{1,n+1}$ относительно действия T^{n+1} следующим образом:

$$\begin{aligned}
 1 &\rightarrow ([1 : 0], [0 : 1 : 0 : \dots : 0]), \quad 2 \rightarrow ([0 : 1], [1 : 0 : \dots : 0]), \\
 &\text{а для } 2 \leq k \leq n+1 \text{ положим} \\
 2k-1 &\rightarrow ([1 : 0], \underbrace{[0 : \dots : 0 : 1 : 0 : \dots : 0]}_k), \\
 2k &\rightarrow ([0 : 1], \underbrace{[0 : \dots : 0 : 1 : 0 : \dots : 0]}_k).
 \end{aligned}$$

Тогда при переходе от H_{1n} к $H_{1,n+1}$ в графе, соответствующем H_{1n} , помимо двух точек происходит добавление $2n+1$ ребер, соответствующих одномерным орбитам, содержащим пары точек $(1, 2n+1), \dots, (2n-1, 2n+1)$ и $(2, 2n+2), \dots, (2n, 2n+2), (2n+1, 2n+2)$. Аннигиляторы стабилизаторов указанных орбит равны соответственно $(t_1 - t_{n+1}), \dots, (t_n - t_{n+1})$ и $t_{n+1}, (t_2 - t_{n+1}), \dots, (t_n - t_{n+1}), t_1$.

Найдем q_{2n+1} . Рассуждения для q_{2n+2} будут абсолютно аналогичны. q_{2n+1} должен удовлетворять следующим условиям:

$$\begin{aligned}
 q_{2n+1} - q_1 &\in \langle t_1 - t_{n+1} \rangle, \\
 q_{2n+1} - q_3 &\in \langle t_2 - t_{n+1} \rangle, \\
 &\dots \\
 q_{2n+1} - q_{2n-1} &\in \langle t_n - t_{n+1} \rangle.
 \end{aligned}$$

Индукцией по количеству выполненных условий покажем, что $q_{2n+1} = p_1 + (t_1 - t_{n+1})p_3 + \dots + \prod_{l=1}^n (t_l - t_{n+1})p_{2n+1}$. Пусть после выполнения m условий $q_{2n+1} = p_1 + (t_1 - t_{n+1})p_3 + \dots + \prod_{l=1}^m (t_l - t_{n+1})q$, где q — некоторый многочлен. Найдем q такое, что $q_{2n+1} - q_{2m+1} \in \langle t_{m+1} - t_{n+1} \rangle$. Так как $q_{2m+1} = p_1 + (t_1 - t_{m+1})p_3 + \dots + \prod_{l=1}^m (t_l - t_{m+1})p_{2m+1}$, то $q_{2n+1} - q_{2m+1} = ((t_1 - t_{n+1}) - (t_1 - t_{m+1}))p_3 + \dots + (\prod_{l=1}^{m-1} (t_l - t_{n+1}) - \prod_{l=1}^{m-1} (t_l - t_{m+1}))p_{2m-1} + \prod_{l=1}^m (t_l - t_{n+1})q - \prod_{l=1}^m (t_l - t_{m+1})p_{2m+1}$. Убедимся, что $\prod_{l=1}^i (t_l - t_{m+1}) - \prod_{l=1}^i (t_l - t_{n+1})$ кратно $t_{m+1} - t_{n+1} \forall i$: $\prod_{l=1}^i (t_l - t_{m+1}) - \prod_{l=1}^i (t_l - t_{n+1}) = \prod_{l=1}^i (t_l - t_{m+1}) - \prod_{l=1}^i ((t_l - t_{m+1}) + (t_{m+1} - t_{n+1})) = \prod_{l=1}^i (t_l - t_{m+1}) - \prod_{l=1}^i (t_l - t_{m+1}) + (t_{m+1} - t_{n+1})f$, где f — некоторый многочлен. Таким образом, q должен иметь вид $q = p_{2m+1} + (t_{m+1} - t_{n+1})\tilde{q}$, где \tilde{q} — некоторый многочлен. Это завершает доказательство.

Значит $H_{1n}^*(H_{1n})$ есть свободный $\mathbb{Z}[t_1, \dots, t_n]$ модуль с $2n$ образующими, указанными выше.

4. Вычисление соотношений для H_{1n} и описание кольца эквивариантных когомологий

Для образующих, вычисленных в предыдущем пункте, введем обозначения: $e = (1, 1, \dots, 1, 1)$, $u = (0, t_1, 0, t_1, \dots, 0, t_1)$. Далее, для $1 \leq k \leq n-1$, обозначим $(2k+1)$ -ю образующую через v_k ,

$(2k+2)$ -ю образующую через w_k . Исходя из явного вида образующих, можно заключить, что $w_k = -uv_k$. Получим выражения для v_k , при $k = 2, \dots, n-1$, через u и v_1 и соотношения на u и v_1 .

Пример 4 (Соотношения для H_{11}). В этом случае имеем следующий набор образующих: $\{e = (1, 1), u = (0, t)\}$. Нетрудно заметить, что единственным соотношением будет $u^2 = tu$. Таким образом, $H_{T^1}^*(\mathbb{C}P^1) \cong \mathbb{Z}[t][u]/u(u-t) = 0$.

Пример 5 (Соотношения для H_{12}). Имеем следующий набор образующих: $\{e = (1, 1, 1, 1), u = (0, t_1, 0, t_1), v_1 = (0, 0, t_1 - t_2, -t_2), w_1 = (0, 0, 0, t_1 t_2)\}$. Как уже было сказано, $w_1 = -uv_1$. Нетрудно убедиться, что соотношения будут иметь вид: $u^2 = t_1 u, v_1^2 = v_1((t_1 - t_2) - u)$. Таким образом,

$$H_{T^2}^*(H_{12}) \cong \mathbb{Z}[t_1, t_2][u, v_1]/(u(u-t_1) = 0, v_1(v_1 + u - (t_1 - t_2)) = 0).$$

Пример 6 (Соотношения для H_{13}). Граф, соответствующий одномерным орбитам и неподвижным точкам с указанием аннигиляторов стабилизаторов, приведен на рисунке 2.

Укажем набор образующих: $\{e = (1, 1, 1, 1, 1, 1), u = (0, t_1, 0, t_1, 0, t_1), v_1 = (0, 0, t_1 - t_2, -t_2, t_1 - t_3, -t_3), w_1 = (0, 0, 0, t_1 t_2, 0, t_1 t_3), v_2 = (0, 0, 0, 0, (t_1 - t_3)(t_2 - t_3), -t_3(t_2 - t_3)), w_2 = (0, 0, 0, 0, 0, t_1 t_3(t_2 - t_3))\}$. Как и выше, $w_1 = -uv_1, w_2 = -uv_2$. Убедимся, что $v_2 = v_1(v_1 + u - (t_1 - t_2))$. Первые 4 координаты вектора в правой части будут равны нулю, так как выражение в правой части было соотношением в H_{12} . Истинность данного тождества для двух последних координат легко проверяется явным вычислением. Соотношения будут иметь вид: $u^2 = t_1 u, v_2(v_1 + u - (t_1 - t_3)) = v_1(v_1 + u - (t_1 - t_2))(v_1 + u - (t_1 - t_3)) = 0$. Таким образом, $H_{T^3}^*(H_{13}) \cong \mathbb{Z}[t_1, t_2, t_3][u, v_1]/(u(u-t_1) = 0, v_1 \prod_{l=2}^3 ((t_1 - t_l) - (u + v_1)) = 0)$.

В общем случае имеем набор образующих $\{e, u, v_1, -uv_1, \dots, v_{n-1}, -uv_{n-1}\}$. Покажем, что v_2, \dots, v_{n-1} определяются индуктивно следующим образом: $v_{k+1} = v_k((u + v_1) - (t_1 - t_{k+1}))$. Проверим это явным вычислением:

- (1) $u + v_1 = (0, t_1, t_1 - t_2, t_1 - t_2, \dots, t_1 - t_n, t_1 - t_n)$;
- (2) $u + v_1 - (t_1 - t_{k+1}) = \underbrace{(t_{k+1} - t_1, t_{k+1}, t_{k+1} - t_2, t_{k+1} - t_2, \dots, t_{k+1} - t_k, t_{k+1} - t_k, 0, 0, t_{k+1} - t_{k+2}, t_{k+1} - t_{k+2}, \dots, t_{k+1} - t_n, t_{k+1} - t_n)}_{2k}$;
- (3) $v_k(u + v_1 - (t_1 - t_{k+1})) = \underbrace{(0, \dots, 0, (t_1 - t_{k+2}) \dots (t_{k+1} - t_{k+2}), -t_{k+2}(t_2 - t_{k+2}) \dots (t_{k+1} - t_{k+2}), \dots, (t_1 - t_n) \dots (t_{k+1} - t_n), -t_n(t_2 - t_n) \dots (t_{k+1} - t_n))}_{2k+2} = v_{k+1}$.

Перейдем к нахождению соотношений. Ясно, что соотношение $u^2 = t_1 u$ будет присутствовать для любого n . Покажем, что второе соотношение будет иметь вид: $v_{n-1}((t_1 - t_n) - (u + v_1)) = v_1 \prod_{l=2}^n ((t_1 - t_l) - (u + v_1)) = 0$. Из предыдущих рассуждений вытекает, что $v_{n-1} = \underbrace{(0, \dots, 0, *, *)}_{2n-2}$. Рассмотрим второй член произведения: $u + v_1 = (0, t_1, t_1 - t_2, t_1 - t_2, \dots, t_1 - t_n, t_1 - t_n)$. Значит $(t_1 - t_n) - (u + v_1) = \underbrace{(*, \dots, *, 0, 0)}_{2n-2}$.

Это означает, что нужное соотношение выполнено. Таким образом,

$$H_{T^n}^*(H_{1n}) \cong \mathbb{Z}[t_1, t_2, \dots, t_n][u, v_1]/(u(u-t_1) = 0, v_1 \prod_{l=2}^n ((t_1 - t_l) - (u + v_1)) = 0).$$

Замечание 7. Для завершения доказательства нужно показать, что других соотношений нет (это касается и рассмотренных выше примеров). Доказательство отсутствия иных соотношений проводится подсчетом размерностей: ряды Гильберта-Пуанкаре для $H_{T^n}^*(H_{1n})$ и $H^*(H_{1n})$ (описание кольца когомологий $H^*(H_{1n})$ можно найти в [2]) имеют вид

$$R_{H_{T^n}^*(H_{1n})}(t^{\frac{1}{2}}) = \frac{1 + 2t + 2t^2 + \dots + 2t^{n-1} + t^n}{(1-t)^n},$$

$$R_{H^*(H_{1n})}(t^{\frac{1}{2}}) = 1 + 2t + 2t^2 + \dots + 2t^{n-1} + t^n.$$

Таким образом, описанное в работе кольцо $H_{T^n}^*(H_{1n})$ согласуется с видом $H^*(H_{1n})$.

5. ОПИСАНИЕ КОЛЬЦА ЭКВИВАРИАНТНЫХ КОГОМОЛОГИЙ H_{22}

Действие тора T^2 на H_{22} имеет 6 неподвижных точек. Занумеруем их следующим образом:

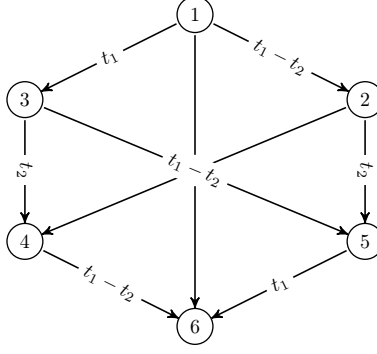


Рис. 3

$$\begin{aligned}
1 &\rightarrow ([0 : 1 : 0], [1 : 0 : 0]), & 2 &\rightarrow ([0 : 0 : 1], [1 : 0 : 0]), \\
3 &\rightarrow ([1 : 0 : 0], [0 : 1 : 0]), & 4 &\rightarrow ([0 : 0 : 1], [0 : 1 : 0]), \\
5 &\rightarrow ([1 : 0 : 0], [0 : 0 : 1]), & 6 &\rightarrow ([0 : 1 : 0], [0 : 0 : 1]).
\end{aligned}$$

Граф, соответствующий одномерным орбитам и неподвижным точкам с указанием аннигиляторов стабилизаторов орбит, приведен на рисунке 3. По теореме 1 любой элемент образа будет иметь вид $(q_1, q_2, q_3, q_4, q_5, q_6)$, где $q_i \in H_{T^2}^*(pt)$. Будем последовательно находить вид многочленов q_i , соответствующих неподвижным точкам действия. Многочлен $q_1 = p_1$ выбирается произвольно в $H_{T^2}^*(pt)$. Тогда, так как для q_2 должно быть верно, что $q_2 - q_1 \in \langle t_1 - t_2 \rangle$, он должен быть равен $q_2 = p_1 + (t_1 - t_2)p_2$, где p_2 выбирается произвольно в $H_{T^2}^*(pt)$. Аналогично, из того, что $q_3 - q_1 \in \langle t_1 \rangle$, следует вид многочлена q_3 : $q_3 = p_1 + t_1 p_3$. Для q_4 должно выполняться:

$$q_4 - q_2 \in \langle t_1 \rangle, \quad q_4 - q_3 \in \langle t_2 \rangle.$$

Для того, чтобы выполнялось второе условие, многочлен q_4 должен иметь вид: $q_4 = p_1 + t_1 p_3 + t_2 q$, где q – некоторый многочлен. Для выполнения первого условия требуется, чтобы $q = -p_2 + t_1 p_4$, где p_4 выбирается произвольно в $H_{T^2}^*(pt)$. Аналогичными рассуждениями, поскольку q_5 и q_6 должны удовлетворять следующим условиям

$$\begin{aligned}
q_5 - q_2 &\in \langle t_2 \rangle, \quad q_5 - q_3 \in \langle t_1 - t_2 \rangle, \\
q_6 - q_1 &\in \langle t_2 \rangle, \quad q_6 - q_4 \in \langle t_1 - t_2 \rangle, \quad q_6 - q_5 \in \langle t_1 \rangle,
\end{aligned}$$

получим явный вид многочленов q_5 и q_6 :

$$\begin{aligned}
q_5 &= p_1 + (t_1 - t_2)p_2 + t_2 p_3 + t_2(t_1 - t_2)p_5, \\
q_6 &= p_1 - t_2 p_2 + t_2 p_3 + t_1 t_2 p_4 + t_2(t_1 - t_2)p_5 + t_1 t_2(t_1 - t_2)p_6.
\end{aligned}$$

Таким образом, $H_{T^2}^*(H_{22})$ есть свободный $\mathbb{Z}[t_1, t_2]$ модуль с шестью образующими $u_1 = (1, 1, 1, 1, 1, 1)$, $u_2 = (0, t_1 - t_2, 0, -t_2, t_1 - t_2, -t_2)$, $u_3 = (0, 0, t_1, t_1, t_2, t_2)$, $u_4 = (0, 0, 0, t_1 t_2, 0, t_1 t_2)$, $u_5 = (0, 0, 0, 0, t_2(t_1 - t_2), t_2(t_1 - t_2))$, $u_6 = (0, 0, 0, 0, 0, t_1 t_2(t_1 - t_2))$. Явным вычислением проверяется, что $u_4 = u_3(t_1 - (u_2 + u_3))$, $u_5 = t_1(t_1 - u_3)$, $u_6 = u_5(t_1 - (u_2 + u_3))$ и соотношения имеют вид

$$\begin{aligned}
(u_2 + u_3)(u_2 + u_3 - t_1)(u_2 + u_3 - (t_1 - t_2)) &= 0, \\
u_3(t_1 - (u_2 + u_3)) - (u_2 - (t_1 - t_2))u_2 &= 0.
\end{aligned}$$

Отсутствие иных соотношений доказывается подсчетом размерностей. Таким образом,

$$\begin{aligned}
H_{T^2}^*(H_{22}) &\cong \mathbb{Z}[t_1, t_2][u_2, u_3] / ((u_2 + u_3)(u_2 + u_3 - t_1)(u_2 + u_3 - (t_1 - t_2)) = 0, \\
&\quad u_3(t_1 - (u_2 + u_3)) - (u_2 - (t_1 - t_2))u_2 = 0).
\end{aligned}$$

СПИСОК ЛИТЕРАТУРЫ

- [1] Goresky M., Kottwitz R., MacPherson R. *Equivariant cohomology, Koszul duality and the localization theorem*. Invent. Math. 131 (25-83), 1998.
- [2] Бухштабер В. М.; Панов Т. Е. *Торические действия в топологии и комбинаторике*. Издательство МЦНМО, 2004.
- [3] Каргапольцева А. И. *Эффективные действия тора на гиперповерхностях Милнора*. 2018.
- [4] Franz M., Puppe V. *Exact cohomology sequences with integral coefficients for torus actions*. 2000.